

# Rozmaite cierpienia

Na podstawie wykładów  
Prof. Świątkowskiego  
w semestrze letnim 2022/2023



oraz *Introduction to Smooth Manifolds* J.M. Lee

# Spis treści

<b>1</b>	<b>Definiowanie rozmaitości</b>	<b>3</b>
1.1	Rozmaitość topologiczna . . . . .	3
1.2	Mapy, współrzędne lokalne . . . . .	4
1.3	Rozmaitości gładkie (różniczkowalne) . . . . .	6
1.4	Warianty pojęcia rozmaitości różniczkowalnej . . . . .	10
1.5	Różniczkowalność odwzorowań rozmaitości . . . . .	11
1.6	Definiowanie rozmaitości gładkiej $X$ za pomocą samego atlasu . . . . .	11
1.7	Rozmaitość gładka z brzegiem . . . . .	12
<b>2</b>	<b>Rozkład jedności</b>	<b>15</b>
2.1	Lokalnie skończone rozdrobnienie . . . . .	15
2.2	Twierdzenie o rozkładzie jedności . . . . .	17
2.3	Zastosowania rozkładów jedności . . . . .	18
2.4	Alternatywna wersja twierdzenia o rozkładzie jedności . . . . .	20
<b>3</b>	<b>Dyskretne ilorazy rozmaitości</b>	<b>21</b>
3.1	Klejenie rozmaitości wzdłuż brzegu . . . . .	21
3.2	Dopiero teraz całe mięso . . . . .	21
<b>4</b>	<b>Wektory styczne</b>	<b>22</b>
4.1	Przestrzeń styczna - definicja kinematyczna . . . . .	22
4.2	Struktura wektorowa przestrzeni $T_pM$ . . . . .	23
4.3	Różniczka . . . . .	24

# 1. Definiowanie rozmaitości

## 1.1. Rozmaitość topologiczna

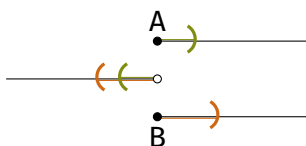
**Definicja 1.1.** Przestrzeń topologiczna  $M$  jest  $n$ -wymiarową rozmaitością ( $n$ -rozmaitością) topologiczną, jeśli:

- jest Hausdorffa
- ma przeliczalną bazę topologii
- jest lokalnie euklidesowa wymiaru  $n$ , tzn. każdy punkt posiada otoczenie otwarte homeomorficzne z otwartym podzbiorem w  $\mathbb{R}^n$

Warunkiem równoważnym do lokalnej euklidesowości jest posiadanie przez każdy punkt  $p \in M$  otoczenia  $U$  takiego, że istnieje homeomorfizm  $U \xrightarrow{\cong} B_r \subseteq \mathbb{R}^n$ . [ćwiczenia]

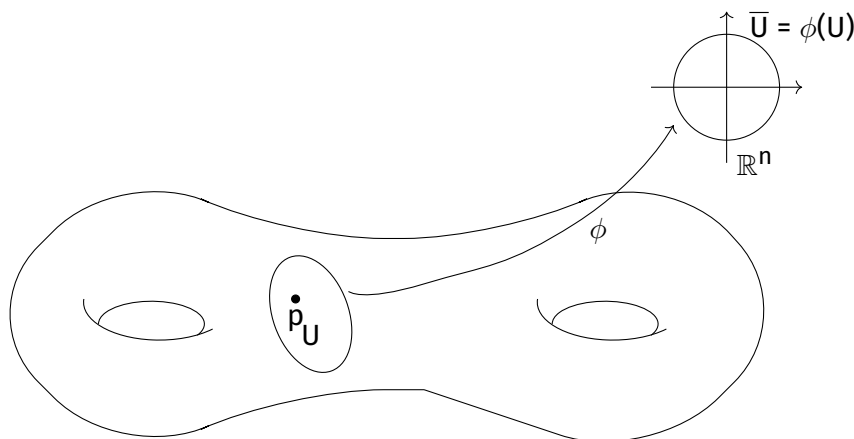
### Hausdorffowość

Dzięki warunkowi Hausdorffowości wykluczone są np. patologie pokroju



gdzie punktów  $A$  i  $B$  nie da się rozdzielić za pomocą rozłącznych zbiorów otwartych.

Ogólniej, warunek ten mówi, że lokalnie topologiczne własności z  $\mathbb{R}^n$  przenoszą się na  $M$  przez homeomorfizmy, np dla podzbioru  $U \subseteq M$  i homeomorfizmu  $\phi : U \rightarrow \bar{U} \subseteq \mathbb{R}^n$ :



Dodatkowo, dla dowolnego zwanego  $\bar{K} \subseteq \bar{U}$  jego odpowiednik na  $M$ , czyli  $K = \phi^{-1}(\bar{K}) \subseteq U$ , jest domknięty i zwarty [ćwiczenia]. Jeśli zaś  $\bar{K}$  jest zbiorem domknięty w  $\bar{U}$ , ale niezwanym, to nie zawsze  $K$  jest domknięty w  $M$ . Weźmy np.  $\phi : U \rightarrow \bar{U} = \mathbb{R}^n$  i zbiór domknięty  $\bar{K} = \mathbb{R}^n$  (cała przestrzeń jest jednocześnie domknięta i otwarta). Wtedy  $K = \phi^{-1}(\bar{K}) = U$  jest otwartym podzbiorem  $M$  mimo, że  $\bar{K}$  jest otwarte.

Skończone podzbiory rozmaitości będącej przestrzenią Hausdorffa są zawsze domknięte i co ważne, granice ciągów na rozmaitościach topologicznych są jednoznacznie określone.

### Przeliczalna baza

Warunek przeliczalnej bazy został wprowadzony, by rozmaitości nie były "zbyt duże". Nieprzeliczalna suma parami rozłącznych kopii  $\mathbb{R}^n$  nie może być rozmaitością. Warunek ten implikuje, że każde pokrycie zbiorami otwartymi zawiera przeliczalne podpokrycie [ćwiczenia], co jest nazywane **warunkiem Lindelöfa**.

Przeliczalność bazy implikuje również, że każda rozmaitość topologiczna jest wstępującą sumą zbiorów otwartych

$$U_1 \subseteq U_2 \subseteq \dots \subseteq U_n \subseteq \dots,$$

które po domknięciu są nadal zawarte w niej. Pozwala ona również na włożenie  $M$  do  $\mathbb{R}^n$  dla odpowiednio dużego  $n$ . Czyli na przykład  $S^2$ , sfera, ma naturalne włożenie w  $\mathbb{R}^3$  pomimo lokalnej euklidesowości z  $\mathbb{R}^2$ .

Rodzina  $\mathcal{X}$  podzbiorów  $M$  jest **lokalnie skończona**, jeżeli każdy punkt  $p \in M$  ma otoczenie, które przecina się co najwyżej ze skończoną liczbą zbiorów z  $\mathcal{X}$ . Jeżeli  $M$  ma dwa pokrycia:  $\mathcal{U}$  i  $\mathcal{V}$  takie, że dla każdego  $V \in \mathcal{V}$  znajdziemy  $U \in \mathcal{U}$  takie, że  $V \subseteq U$ , to  $\mathcal{V}$  jest **pokryciem włożonym/rozdrobnieniem**  $\mathcal{U}$ . Dzięki przeliczalności bazy  $M$ , każda rozmaitość jest **parazwarta**, czyli zawiera lokalnie skończone rozdrobnienie.

### Lokalna euklidesowość

**Twierdzenie 1.2. Twierdzenie Brouwer'a** Dla  $m \neq n$  otwarty podzbiór  $\mathbb{R}^n$  nie może być homeomorficzny z żadnym otwartym podzbiorem  $\mathbb{R}^m$ .

Z twierdzenia wyżej wynika, że liczba  $n$  jest przypisana do  $M$  jednoznacznie i nazywa się **wymiarem**  $M$  ( $\dim(M) = n$ ). Jeśli wymiar rozmaitości  $M$  wynosi  $n$ , to nazywamy ją czasem  **$n$ -rozmaitością**.

### Inne własności rozmaitości topologicznych:

- Każda rozmaitość ma przeliczalną bazę złożoną ze zbiorów homeomorficznych z kulami w  $\mathbb{R}^n$ , których domknięcia są zbiorami zwartymi.
- Każda rozmaitość jest lokalnie spójna, tzn. ma bazę otwartych zbiorów łukowo spójnych.
- Rozmaitość jest spójna  $\iff$  jest łukowo spójna. Składowe spójności  $M$  są równe składowym łukowej spójności  $M$ .
- Każda rozmaitość jest lokalnie zwarta (tzn. każdy punkt posiada zwarte otoczenie).

## 1.2. Mapy, współrzędne lokalne

**Definicja 1.3. Mapą** na rozmaitości topologicznej  $M$  nazywamy parę  $(U, \phi)$ , gdzie  $U$  jest otwartym podzbiorem  $M$ , zaś  $\phi : U \rightarrow \bar{U} = \phi(U) \subseteq \mathbb{R}^n$  jest homeomorfizmem na otwarty podzbiór w  $\mathbb{R}^n$ . Zbiór  $U$  nazywamy wtedy **zbiorem mapowym**

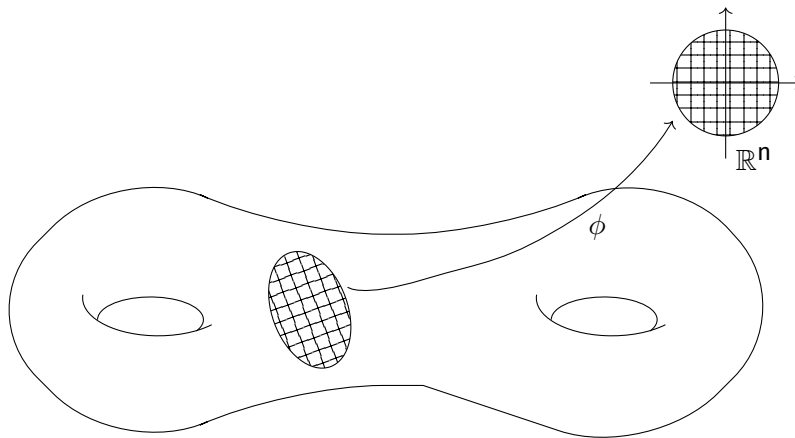
Ponieważ każda rozmaitość topologiczna jest lokalnie euklidesowa, to  $M$  jest pokrywana zbiorami mapowymi.

Dla mapy  $(U, \phi)$  takiej, że  $p \in U$  i  $\phi(p) = 0 \in \mathbb{R}^n$  mówimy, że jest **mapą wokół  $p$** . Za pomocą translacji możemy każdą mapę zawsze przesunąć tak, aby  $\phi(p) = 0$ . Czyli możemy odgórnie zakładać, że mapa  $(U, \phi)$  jest mapą o początku w  $p$ .

Często będziemy przechodzić do coraz to mniejszych zbiorów mapowych poprzez branie odwzorowań obciętych co nie burzy gładkości ani zgodności z atlasem. Pozwoli to np. zakładać, że dla  $p \notin F$  domkniętego bierzemy mapę  $(U, \phi)$  taką, że  $U \cap F = \emptyset$ .

Tutaj warto zaznaczyć, że zbiór pusty zaspokaja definicję rozmaitości topologicznej dla dowolnego  $n$ . Wygodnie jest go jednak móc użyć, więc w definicji niepustość  $M$  nie jest przez nas wymagana.

Mapy nazywa się też czasem *lokalnymi współrzędnymi* na  $M$  lub *lokalną parametryzacją*  $M$ . Ponieważ o mapie można myśleć jako o przeniesieniu siatki współrzędnych  $(x_1, \dots, x_n)$  z  $\bar{U} = \phi(U)$  przez  $\phi^{-1}$  na  $U$ , to będziemy często utożsamiać  $U \subseteq M$  z  $\bar{U}$ . O punkcie  $p \in M$  takim, że  $\phi(p) = (x_1, \dots, x_n)$  będziemy myśleć jako o  $p = (x_1, \dots, x_n)$ .



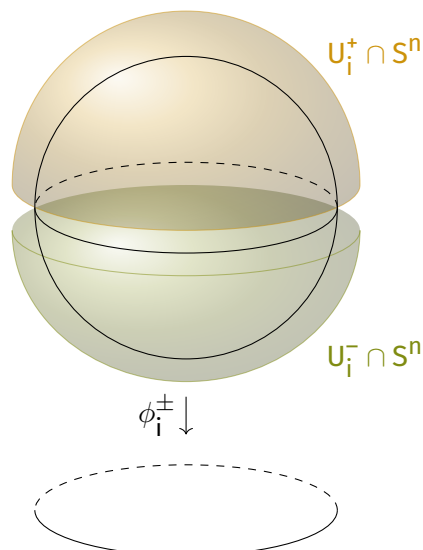
### Przykłady:

1. Każdy otwarty podzbiór  $n$ -rozmaitości topologicznej jest  $n$ -rozmaitością [ćwiczenia].
2. **Wykresy ciągłych funkcji:** Niech  $U \subseteq \mathbb{R}^n$  i  $f : U \rightarrow \mathbb{R}^k$  jest funkcją ciągłą. Wykresem  $f$  nazywamy zbiór

$$\Gamma(f) = \{(x, y) : x \in U, y = f(x)\} \subseteq \mathbb{R}^n \times \mathbb{R}^k$$

Oznaczmy przez  $\pi_1 : \mathbb{R}^n \times \mathbb{R}^k \rightarrow \mathbb{R}^n$  projekcję na  $\mathbb{R}^n$ , tzn.  $\pi_1(x, y) = x \in \mathbb{R}^n$ . Wtedy funkcja  $\phi : \Gamma(f) \rightarrow U$  będąca obcięciem  $\pi_1$  do  $\Gamma(f)$ . Ponieważ  $\phi$  jest obcięciem funkcji ciągłej, to samo również jest ciągłe. W dodatku, funkcja  $\phi^{-1} : \mathbb{R}^n \rightarrow \Gamma(f)$  dana przez  $\phi^{-1}(x) = (x, f(x)) \in \Gamma(f)$ , jest ciągłą funkcją odwrotną do  $\phi$ . W takim razie,  $\phi$  jest homeomorfizmem między  $U$  a  $\Gamma(f)$  i wykres funkcji ciągłych jest lokalnie euklidesowy. Jako podzbiór  $\mathbb{R}^n \times \mathbb{R}^k$  jest też przestrzenią Hausdorffa oraz ma przeliczalną bazę. W takim razie, wykres ciągłej funkcji jest rozmaitością topologiczną.

3. Sfery  $S^n$  są  $n$ -rozmaitościami, które wkładają się w  $\mathbb{R}^{n+1}$  ( $S^n = \{(x_1, \dots, x_{n+1}) \in \mathbb{R}^{n+1} : \sum x_i^2 = 1\}$ ).



Rozważmy rodzinę par  $\{(U_i^\pm, \phi_i^\pm) : i = 1, \dots, n+1\}$  na  $S^n$  zdefiniowanych jako:

$$U_i^+ = \{x \in S^n : x_i > 0\}$$

$$U_i^- = \{x \in S^n : x_i < 0\}$$

Oznaczenie  $\hat{x}_i$  oznacza "wyrzucenie" danej współrzędnej.

$$\phi_i^\pm(x) = (x_1, \dots, x_{i-1}, \hat{x}_i, x_{i+1}, \dots, x_n).$$

Zbiory  $U_i^\pm$  pokrywają całe  $S^n$ , gdyż każdy punkt posiada co najmniej jedną niezerową współrzędną, a funkcje  $\phi_i^\pm$  są ciągłe jako obcięcia rzutów  $\mathbb{R}^{n+1}$  na  $\mathbb{R}^n$ . Obrazem zbioru  $U_i^\pm$  przez  $\phi_i^\pm$  jest zbiór

$$\overline{U_i^\pm} = \phi_i^\pm(U_i^\pm) = \{(x_1, \dots, x_n) : \sum x_i^2 < 1\}$$

czyli otwarta kula w  $\mathbb{R}^n$ .

Odwzorowania  $\phi_i^\pm$  są bijekcjami o odwzorowaniach odwrotnych:

$$(\phi_i^\pm)^{-1}(x_1, \dots, x_n) = (x_1, \dots, x_{i-1}, \pm \sqrt{1 - \sum x_i^2}, x_i, \dots, x_n)$$

które są ciągłe. W takim razie  $\phi_i^\pm$  są homeomorfizmami między otwartymi podzbiórmi  $S^n$  a otwartymi podzbiórmi  $\mathbb{R}^n$ .

Pokazaliśmy lokalną euklidesowość  $S^n$ , natomiast bycie przestrzenią Hausdorffa o przeliczalnej bazie  $S^n$  dziedziczy z  $\mathbb{R}^{n+1}$ .

4. Produkt kartezjański dwóch (lub  $k$ ) rozmaitości topologicznych rozmaitością topologiczną [ćwiczenia].
5.  $n$ -torus jest przestrzenią produktową  $\mathbb{T}^n = S^1 \times \dots \times S^1$  i  $n$ -rozmaitością topologiczną.  $\mathbb{T}^2$  nazywamy po prostu torusem.

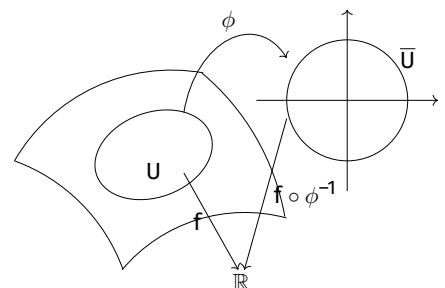
### 1.3. Rozmaitości gładkie (różniczkowalne)

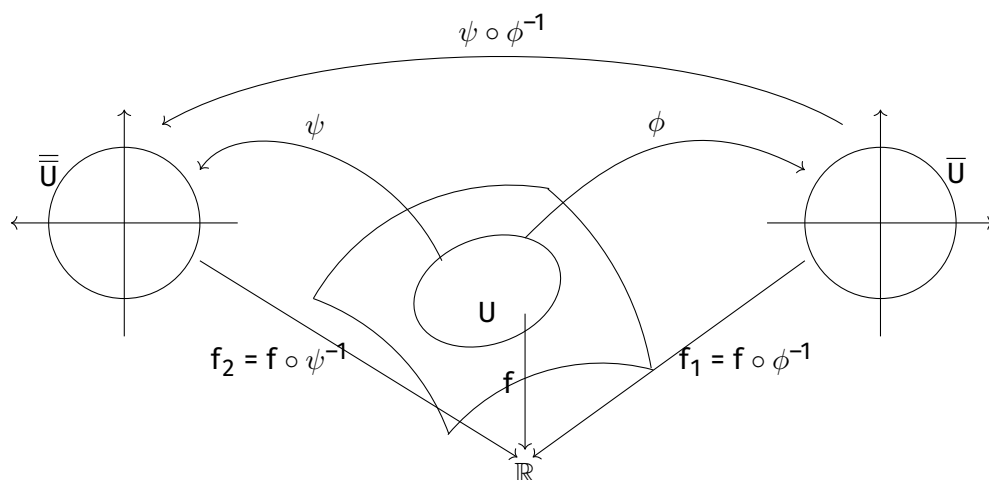
Dla funkcji  $f : M \rightarrow \mathbb{R}$  chcemy rozpoznawać jej różniczkowalność za pomocą map  $(U, \phi)$  na  $M$ .

Funkcja  $f : M \rightarrow \mathbb{R}$  **wyrażona w mapie**  $(U, \phi)$  to złożenie  $f \circ \phi^{-1} : \bar{U} \rightarrow \mathbb{R}$ .

**Definicja 1.4.** Funkcja  $f : M \rightarrow \mathbb{R}$  jest **gładka**, jeśli dla każdej mapy  $(U, \phi)$  na  $M$   $f \circ \phi^{-1}$  jest gładka.

W tej definicji pojawia się pewien problem: dla jednej mapy  $(U, \phi)$   $f$  może być gładka, ale jeśli przejdziemy z obrazu mapy  $(U, \psi)$  to może się okazać, że  $f_2 = f_1 \circ \psi \circ \phi^{-1}$  nie jest gładka:



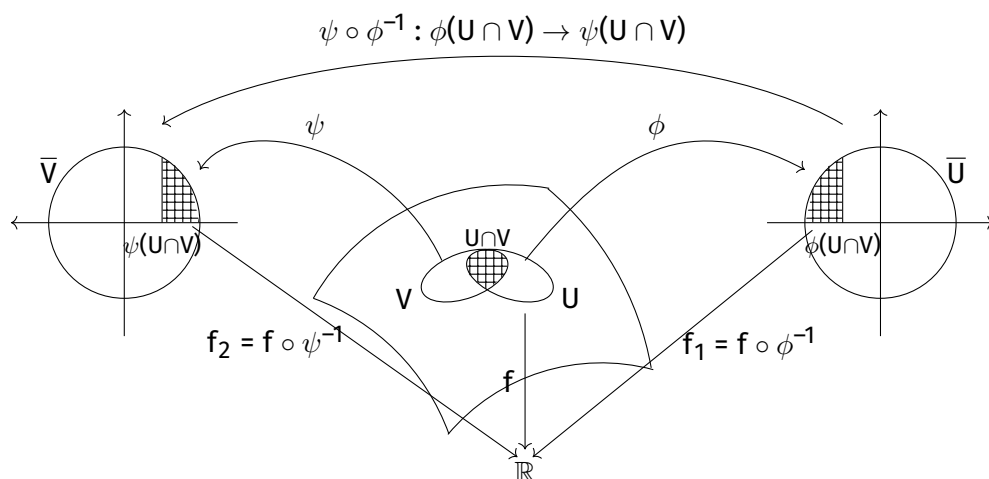


Dlatego chcemy móc założyć, że  $\phi \circ \psi^{-1}$  jest przekształceniem gładkim.

**Definicja 1.5.** Mapy  $(U, \phi), (V, \psi)$  nazywamy (gładko) **zgodnymi**, gdy  $\phi \circ \psi^{-1}$  i  $\psi \circ \phi^{-1}$  są odwzorowaniami gładkimi.

Odwzorowania  $\phi\psi^{-1}$  nazywamy **odwzorowaniami przejścia** z jednej mapy do drugiej. Jeśli  $\phi\psi^{-1}$  i  $\psi\phi^{-1}$  są gładkie, to są one wzajemnie do siebie odwrotnymi bijekcjami. Takie odwzorowania nazywamy **dyfeomorfizmami** pomiędzy otwartymi podzbiórmi  $\mathbb{R}^n$ . Zauważmy, że w każdym punkcie Jakobian, czyli wyznacznik macierzy pochodnych cząstkowych, jest dla dyfeomorfizmów niezerowy [ćwiczenia].

W ogólnym przypadku, gdy  $U \cap V \neq \emptyset$ , rysunek wygląda:



Mapy  $(U, \phi)$  i  $(V, \psi)$  nazywamy zgodnymi, jeśli:

- $U \cap V = \emptyset$
- odwzorowania przejścia

$$\phi\psi^{-1} : \psi(U \cap V) \rightarrow \phi(U \cap V)$$

oraz

$$\psi\phi^{-1} : \phi(U \cap V) \rightarrow \psi(U \cap V)$$

są gładkie ( $\iff$  są dyfeomorfizmami podzbiorów  $\phi(U \cap V)$  i  $\psi(U \cap V)$ ).

**Definicja 1.6. Gładkim atlasem**  $\mathcal{A}$  na rozmaitości  $M$  nazywamy zbiór map  $\{(U_\alpha, \phi_\alpha)\}$  takich, że:

- $\{U_\alpha\}$  pokrywają całą  $M$
- każde dwie mapy z tego zbioru są zgodne.

### Przykłady:

1. Rodzina map  $\{(U_i^\pm, \phi_i^\pm)\}$  na sferze  $S^n$  jest atlasem gładkim na  $S^n$ . Dla przykładu zbadamy zgodność map  $(U_i^+, \phi_i^+)$  i  $(U_j^+, \phi_j^+)$  dla  $i < j$ .

Popatrzmy jak wyglądają interesujące nas zbiory:

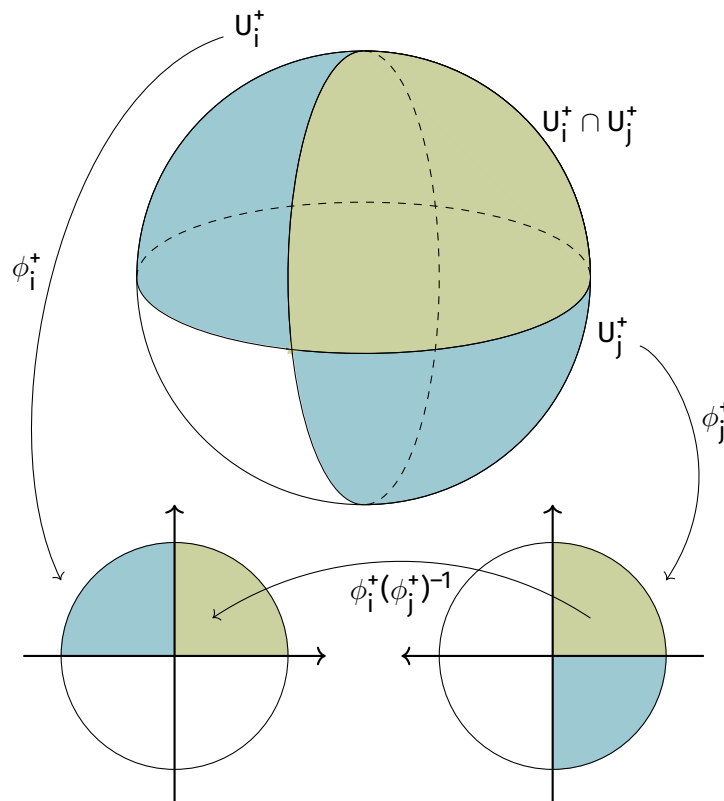
$$U_i^+ \cap U_j^+ = \{x \in S^n : x_i > 0, x_j > 0\}$$

$$\phi_i^+(U_i^+ \cap U_j^+) = \{x \in \mathbb{R}^n : |x| < 1, x_{j-1} > 0\}$$

bo usuwamy  $i$ -tą współrzędną i numery poprzednich współrzędnych spadają o 1 w dół,

$$\phi_j^+(U_i^+ \cap U_j^+) = \{x \in \mathbb{R}^n : |x| < 1, x_i > 0\}$$

bo w tym przypadku usunęliśmy współrzędną na prawo od  $i$ , więc jej położenie nie zmienia się.





$$\begin{array}{ccc}
 (x_1, \dots, x_n) & \xrightarrow{(\phi_j^+)^{-1}} & (x_1, \dots, x_{j-1}, \sqrt{1-|x|^2}, x_j, \dots, x_n) \\
 \cap & & \downarrow \phi_i^+ \\
 \{x \in \mathbb{R}^n : |x| < 1, x_i > 0\} & & (x_1, \dots, x_{i-1}, \hat{x}_i, x_{i+1}, \dots, x_{j-1}, \sqrt{1-|x|^2}, x_j, \dots, x_n) \\
 & & \cap \\
 & & \{x \in \mathbb{R}^n : |x| < 1, x_{j-1} > 0\}
 \end{array}$$

Czyli odwzorowanie przejścia jest zadane wzorem:

$$\phi_i^+ (\phi_j^+)^{-1} (x_1, \dots, x_n) = (x_1, \dots, x_{i-1}, x_{i+1}, \dots, x_{j-1}, \sqrt{1-|x|^2}, x_j, \dots, x_n)$$

i widać, że jest ono gładkie. Pozostałe rachunki przechodzą analogicznie.

2. Jeśli  $V$  jest przestrzenią liniową wymiaru  $n < \infty$  nad  $\mathbb{R}$ , to dowolna norma określona na  $V$  zadaje metrykę, która pozwala określić na  $V$  topologię (identyczną dla równoważnych norm). Z taką topologią  $V$  jest  $n$ -rozmaiutością z naturalnie zdefiniowaną strukturą.

Niech  $(e_1, \dots, e_n)$  będzie bazą  $V$ . Rozważmy izomorfizm  $E : \mathbb{R}^n \rightarrow V$  zadany przez

$$E(x) = \sum_{i \leq n} x^i e_i.$$

Funkcja ta w kontekście topologicznym jest homeomorfizmem, więc  $(V, E^{-1})$  jest mapą na  $V$ .

Jeśli  $(\bar{e}_1, \dots, \bar{e}_n)$  jest inną bazą na  $V$ , to mamy homeomorfizm

$$\bar{E}(x) = \sum x^j \bar{e}_j$$

Istnieje wtedy pewna odwracalna macierz  $(A_i^j)$  taka, że

$$e_i = \sum A_i^j \bar{e}_j$$

dla każdego  $i$ .

Stąd odwzorowanie przejścia między tymi dwoma mapami jest zadane przez  $\bar{E}^{-1} \circ E(x) = \bar{x}$ , gdzie  $\bar{x} = (\bar{x}^1, \dots, \bar{x}^n)$  jest zadane przez

$$\sum_{j \leq n} \bar{x}^j \bar{e}_j = \sum_{i \leq n} x^i e_i = \sum_{i, j \leq n} x^i A_i^j \bar{e}_j \implies \bar{x}^j = \sum_{i \leq n} A_i^j x^i$$

W takim razie jakkolwiek mapa wysyłająca  $x$  na  $\bar{x}$  jest odwracalna i liniowa  $\implies$  jest dyfeomorfizmem. Stąd dowolne dwie mapy  $(V, E)$  są gładko zgodne i ich rodzina definiuje na  $V$  standardową gładką strukturę.

**Definicja 1.7. Rozmaiutością gładką** nazywamy parę  $(M, \mathcal{A})$ , gdzie  $M$  jest rozmaiutością topologiczną, zaś  $\mathcal{A}$  jest pewnym atlasem gładkim na  $M$ .

Zdarza się, że różne atlasy na tej samej rozmaiutości topologicznej  $M$  mogą zadawać tę samą rozmaiutość gładką. Na przykład dla  $M = \mathbb{R}^n$  istnieje atlas zawierający jedną mapę  $\{(\mathbb{R}^n, \text{id}_{\mathbb{R}^n})\}$  oraz atlas  $\{(B_x(r), \text{id}_{B_x(r)}) : x \in \mathbb{R}^n, r > 0\}$ , który jest tak naprawdę "rozdrobieniem" pierwszego atlasu.

**Definicja 1.8.** Niech  $\mathcal{A}$  będzie gładkim atlasem na  $M$ .

1. Mapa  $(U, \phi)$  jest zgodna z  $\mathcal{A}$ , jeśli jest zgodna z każdą mapą  $(V, \psi) \in \mathcal{A}$ .
2. Dwa atlasy  $\mathcal{A}_1, \mathcal{A}_2$  na  $M$  są zgodne, jeśli każda mapa z  $\mathcal{A}_1$  jest zgodna z  $\mathcal{A}_2$ .

Warto zaznaczyć, że zgodność atlasów jest relacją zwrotną i przechodnią [ćwiczenia]. Zgodne atlasy zadają tę samą strukturę rozmaitości gładkiej na topologicznej rozmaitości  $M$ . Wszystkie zgodne atlasy należą do jednego większego atlasu, co było przyczyną powstania definicji atlasu maksymalnego.

**Definicja 1.9.**  $\mathcal{A}$  jest **atlasem maksymalnym** na rozmaitości  $M$ , jeśli każda mapa zgodna z  $\mathcal{A}$  należy do  $\mathcal{A}$ .

Każdy atlas  $\mathcal{A}$  na  $M$  zawiera się w dokładnie jednym atlasie maksymalnym, złożonym ze wszystkich map zgodnych z  $\mathcal{A}$  [ćwiczenia]. Dodatkowo, zgodne atlasy zawierają się w tym samym atlasie maksymalnym. Wtedy można definiować rozmaitość gładką jako parę  $(M, \mathcal{A})$ , gdzie  $M$  jest rozmaitością topologiczną, a  $\mathcal{A}$  jest pewnym gładkim atlasem maksymalnym.

### Dopowiedzenie o funkcjach gładkich

Funkcja  $f : M \rightarrow \mathbb{R}$  jest gładka względem atlasu  $\mathcal{A}$  na  $M$ , jeśli dla każdej mapy  $(U, \phi) \in \mathcal{A}$   $f \circ \phi^{-1}$  jest gładka.

### Fakt 1.10.

- Jeśli  $f : M \rightarrow \mathbb{R}$  jest gładka względem  $\mathcal{A}$ , zaś  $(U, \phi)$  jest mapą zgodną z  $\mathcal{A}$ , to  $f \circ \phi^{-1}$  jest gładka.
- Jeśli  $\mathcal{A}_1$  i  $\mathcal{A}_2$  są zgodnymi atlasami, to  $f : M \rightarrow \mathbb{R}$  jest gładka względem  $\mathcal{A} \iff f$  jest gładka względem  $\mathcal{A}_2 \iff f$  jest gładka względem atlasu maksymalnego  $\mathcal{A}_{\max}$  zawierającego  $\mathcal{A}_1$  i  $\mathcal{A}_2$ .

**Dowód.** Ćwiczenia



## 1.4. Warianty pojęcia rozmaitości różniczkowalnej

Mówimy, że mapy  $(U, \phi), (V, \psi)$  są  **$C^k$ -zgodne** jeśli  $\phi \circ \psi^{-1}$  i  $\psi \circ \phi^{-1}$  są funkcjami klasy  $C^k$  (posiadają pochodne cząstkowe rzędów  $\leq k$ ).  $C^k$ -atlas to z kolei rodzina  $C^k$ -zgodnych map, która określa strukturę  $C^k$ -rozmaitości na  $M$ . Struktura  $C^k$ -rozmaitości jest słabsza niż rozmaitości gładkiej i nie da się na niej zdefiniować map klasy  $C^m$  dla  $m > k$ .

$C^0$  rozmaitość to określenie na rozmaitość topologiczną, a  $C^\infty$ -rozmaitość jest tym samym co rozmaitość gładka.

### Dychotomia $C^0$ i $C^k$ dla $k > 0$ aka dykresja

Z każdego maksymalnego atlasu  $C^1$ -rozmaitości można wybrać atlas złożony z map  $C^\infty$ -zgodnych. Zatem, każda  $C^1$ -rozmaitość posiada  $C^1$ -zgodną strukturę  $C^\infty$ -rozmaitości [Whitney, 1940]. Istnieją jednak  $C^0$ -rozmaitości, które nie dopuszczają żadnej zgodnej struktury gładkiej [Quinn '82, Friedmann '82].

- Na rozmaitości analitycznej mapy są analitycznie zgodne  $[C^\omega]$ . Mapy są analitycznie zgodne, gdy wyrażają się za pomocą szeregów potęgowych.
- Rozmaitość zespolona ma mapy będące funkcjami w  $\mathbb{C}^n$  zamiast  $\mathbb{R}^n$ .

- W rozmaitości konforemnej mapy zachowują kąty między punktami.
- Istnieją też rozmaitości kawałkami liniowe (PL)...

## 1.5. Różniczkowalność odwzorowań rozmaitości

**Definicja 1.11.** Dla  $M, N$  gładkich rozmaitości i  $f : M \rightarrow N$  ciągłej mówimy, że  $f$  jest  $C^k$ -różniczkowalna w punkcie  $p$ , jeśli dla dowolnych map  $(U, \phi) \ni p$  oraz  $(V, \psi) \ni f(p)$  złożenie

$$\psi \circ f \circ \phi^{-1} : \phi[U \cap f^{-1}(V)] \rightarrow \psi(V)$$

jest  $C^k$ -różniczkowalne w punkcie  $\phi(p)$ .

ZRÓB RYSUNEK

## 1.6. Definiowanie rozmaitości gładkiej $X$ za pomocą samego atlasu

**Lemat 1.12.** Niech  $X$  będzie zbiorem (bez zadanej topologii) i  $\{U_\alpha\}$  będzie kolekcją podzbiorów w  $X$  taką, że dla każdego  $\alpha$  istnieje  $\phi_\alpha : U_\alpha \rightarrow \mathbb{R}^n$  różniczkowalne takie, że

1. dla każdego  $\alpha$   $\phi_\alpha(U_\alpha) = \overline{U_\alpha} \subseteq \mathbb{R}^n$  jest otwarty
2. dla dowolnych  $\alpha, \beta$   $\phi_\alpha(U_\alpha \cap U_\beta)$  oraz  $\phi_\beta(U_\alpha \cap U_\beta)$  są otwarte w  $\mathbb{R}^n$ .
3. jeśli  $U_\alpha \cap U_\beta \neq \emptyset$ , to  $\phi_\beta \circ \phi_\alpha^{-1} : \phi_\alpha(U_\alpha \cap U_\beta) \rightarrow \phi_\beta(U_\alpha \cap U_\beta)$  jest gładkie (a nawet dyfeomorficzne, bo odwzorowanie odwrotne  $\phi_\alpha \circ \phi_\beta^{-1}$  też jest gładkie)
4. przeliczalnie wiele spośród  $U_\alpha$  pokrywa  $X$
5. dla każdego  $p, q \in X$ , jeśli  $p \neq q$ , to istnieją  $\alpha, \beta$  oraz otwarte  $V_p \subseteq \overline{U_\alpha}$  i  $V_q \subseteq \overline{U_\beta}$  takie, że  $p \in \phi_\alpha^{-1}(V_p)$ ,  $q \in \phi_\beta^{-1}(V_q)$  oraz  $\phi_\alpha^{-1}(V_p) \cap \phi_\beta^{-1}(V_q) = \emptyset$  (oddzielanie punktów otwartymi zbiorami mapowymi).

Wówczas na  $X$  istnieje jedyna struktura rozmaitości topologicznej, dla której zbiory  $U_\alpha$  są otwarte. Ponadto rodzina  $\{(U_\alpha, \phi_\alpha)\}$  tworzy wtedy gładki atlas na  $X$ .

**Dowód.** A dokładniej szkic dowodu.

Dokładny dowód w Lee, lemat 1.35.

Określimy topologię na  $X$  przy pomocy przeciwbrazów przez  $\phi_\alpha$  otwartych podzbiorów  $\overline{U_\alpha} = \phi_\alpha(U_\alpha) \subseteq \mathbb{R}^n$ . Sprawdzenie, że jest to bazą topologii jest ćwiczeniem. Dzięki temu zbadanie lokalnej euklidesowości jest trywialne.

Dzięki warunkowi 4 nietrudno jest wybrać wtedy bazę przeliczalną [ćwiczenie], a warunek Hausdorffowości wynika z 5.



### Przykłady:

1.  $\mathcal{L}$  jest zbiorem prostych na płaszczyźnie. Na takim zbiorze nie ma dogodnej topologii, którą można by od razu wykorzystać. Zdefiniujmy zbiory:

$$U_v = \{\text{proste niepoziome}\}$$

$$U_h = \{\text{proste nie pionowe}\}$$

oraz funkcje  $\phi_h, \phi_v$ :

$$U_h \ni L = \{y = ax + b\} \xrightarrow{\phi_h} (a, b) \in \mathbb{R}^2$$

$$U_v \ni L = \{x = cy + d\} \xrightarrow{\phi_v} (c, d) \in \mathbb{R}^2$$

Obie te funkcje są różnowartościowe i ich obrazy to  $\mathbb{R}^2$ , czyli warunek 1 jest spełniony. Ponieważ jest ich tylko 2 sztuki i pokrywają całego  $X$ , to również 4. został spełniony. Sprawdźmy teraz 2:

$$U_h \cap U_v = \{\text{proste nie pionowe i nie poziome}\} = \{y = ax + b : a \neq 0\} = \{x = cy + d : c \neq 0\}$$

$$\phi_h(U_h \cap U_v) = \{(a, b) \in \mathbb{R}^2 : a \neq 0\}$$

$$\phi_v(U_h \cap U_v) = \{(c, d) : c \neq 0\}$$

są otwarte, więc 2 jest spełniona. Teraz kolej na 3.

Weźmy prostą  $L = \{x = cy + d\} = \{y = \frac{1}{c}x - \frac{d}{c}\} \in U_h \cap U_v$ .

$$\left(\frac{1}{c}, -\frac{d}{c}\right) \xleftarrow{\phi_h} L \xrightarrow{\phi_v} (c, d)$$

Zatem  $\phi_h \phi_v^{-1}(c, d) = \left(\frac{1}{c}, -\frac{d}{c}\right)$  jest gładkie (podobnie  $\phi_v \phi_h^{-1}$ ).

Warunek 5. jest łatwy do sprawdzenia [ćwiczenie].

Z tą naturalną (mimo wszystko) topologią  $\mathcal{L}$  jest w istocie homeomorficzne z wnętrzem wstęgi Möbiusa. Stąd do opisu  $\mathcal{L}$  nie wystarcza jedna mapa.

### O notacjach:

- W dalszej części rozważań będziemy utożsamiać mapowe otoczenie  $U \subseteq M$  z obrazem przez mapę, czyli  $\bar{U} = \phi(U) \subseteq \mathbb{R}^n$ . Można o tym myśleć, że przenosimy siatkę współrzędnych  $(x_1, \dots, x_n)$  z  $\bar{U}$  przez  $\phi^{-1}$  na  $U \subseteq M$ .
- Za pomocą translacji współrzędnych zawsze możemy przyjąć, że  $p = (0, \dots, 0)$  w mapie, czyli możemy założyć, że  $(U, \phi)$  jest mapą o początku w  $p$ .
- Często będziemy przechodzić do mniejszych zbiorów mapowych, za mapę biorąc odwzorowanie obcięte (jest to mapa zgodna z atlasem). Będziemy wtedy mówić, że przyjmujemy, iż mapa wokół  $p$  ma zbiór mapowy tak mały, jak nam akurat potrzeba, np. że jest rozłączny z pewnym zbiorem domkniętym  $F \subseteq M$  niezawierającym  $p$ .

## 1.7. Rozmaitość gładka z brzegiem

Rzeczywistą półprzestrzeń oznaczamy

$$H^n = \{(x_1, \dots, x_n) \in \mathbb{R}^n : x_n \geq 0\},$$

jej brzegiem nazywamy

$$\partial H^n = \{(x_1, \dots, x_n) \in \mathbb{R}^n : x_n = 0\}$$

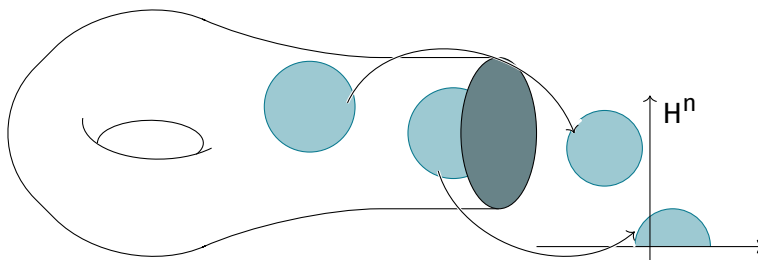
a wnętrzem:

$$\text{int}(H^n) = \{(x_1, \dots, x_n) \in \mathbb{R}^n : x_n > 0\}.$$

Dla  $U \subseteq H^n$  oznaczmy  $\partial U = U \cap \partial H$  oraz  $\text{int}(U) = U \cap \text{int}(H^n)$ , czyli definicja brzegu i wnętrza jest nieco inna niż na topologii. Użyjemy  $H^n$  oraz definicji jej brzegu i wnętrza, by zdefiniować rozmaitość gładką z brzegiem.

Dla  $U \subseteq \mathbb{H}^n$  otwartego i  $f : U \rightarrow \mathbb{R}^m$  mówimy, że  $f$  jest **gładka**, gdy jest obcięciem do  $U$  gładkiej funkcji  $\hat{f} : \hat{U} \rightarrow \mathbb{R}^m$ ,  $\hat{U} \subseteq \mathbb{R}^n$  otwartego,  $U \subseteq \hat{U}$ . Pochodne cząstkowe funkcji  $f$  są dobrze określone na  $\text{int}(U)$ , a ponieważ są ciągłe, to są również dobrze określone na  $\partial U$  (tzn. nie zależą od wyboru rozszerzenia  $\hat{f}$ ). Z analizy matematycznej wiemy, że rozszerzenia  $\hat{f}$  istnieje  $\iff$  wszystkie pochodne cząstkowe  $f$  w  $\text{int}(U)$  w sposób ciągły rozszerzają się do  $\partial U$ .

**Definicja 1.13.**  $M$  jest **gładką rozmaitością z brzegiem**, jeśli posiada atlas  $\{(U_\alpha, \phi_\alpha)\}$ ,  $U_\alpha \subseteq M$  i  $\phi_\alpha : U_\alpha \rightarrow \mathbb{H}^n$  i  $\overline{U_\alpha} = \phi_\alpha(U_\alpha)$  jest otwarty w  $\mathbb{H}^n$ , gdzie odwzorowania przejścia są gładkie (tzn.  $\phi_\alpha \phi_\beta^{-1}$  są dyfeomorfizmami pomiędzy otwartymi podzbiorami w  $\mathbb{H}^n$ ).



**Fakt 1.14.** Jeśli w pewnej mapie  $(U_\alpha, \phi_\alpha)$ ,  $\phi_\alpha(p) \in \partial \mathbb{H}^n$ , to w każdej innej mapie  $(U_\beta, \phi_\beta)$  zawierającej  $p$   $\phi_\beta(p) \in \partial \mathbb{H}^n$ .

**Dowód.** Wynika to z twierdzenia o odwzorowaniu otwartym, wraz z nieosobliwością Jakobianu odwzorowań przejścia.

Dla rozmaitości topologicznych z brzegiem analogiczny fakt wymaga w dowodzie twardego twierdzenia Brouwera o niezmienniczości obrazu - analogicznego twierdzenia o odwzorowaniu otwartym dla ciągłych iniekcji. ☕

**Definicja 1.15.** **Brzegiem**  $n$ -rozmaitości  $M$  z brzegiem nazywamy zbiór

$$\partial M = \{p \in M : \text{w pewnej (każdej) mapie } p \in (U_\alpha, \phi_\alpha) \text{ zachodzi } \phi(p) \in \partial \mathbb{H}^n\}$$

wnętrze  $M$  nazywa się

$$\text{int}(M) = \{p \in M : (\exists (U_\alpha, \phi_\alpha)) \phi_\alpha(p) \in \text{int}(\mathbb{H}^n)\}$$

**Fakt 1.16.** Wnętrze  $\text{int}(M)$   $n$ -rozmaitości gładkiej  $M$  jest  $n$ -rozmaitością bez brzegu.

**Dowód.** Jako atlas bierzemy  $\{(U'_\alpha, \phi'_\alpha)\}$ , gdzie

$$U'_\alpha = \phi_\alpha^{-1}(\text{int}(\overline{U_\alpha})) = U_\alpha \cap \text{int}(M), \quad \phi'_\alpha = \phi_\alpha|_{U'_\alpha}$$

Odwzorowania przejścia  $\phi'_\alpha(\phi'_\beta)^{-1}$  są obcięciami  $\phi_\alpha \phi_\beta^{-1}$ , więc są gładkie. ☕

**Przykłady:**

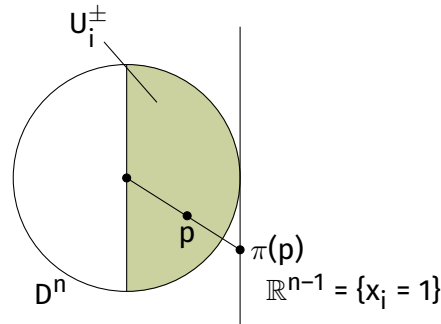
1. Dysk  $D^n = \{x \in \mathbb{R}^n : |x| \leq 1\}$  jest  $n$ -rozmaitością z brzegiem  $\partial D^n = S^{n-1} = \{x \in \mathbb{R}^n : |x| = 1\}$ .

**Dowód.** Skonstruujemy mapy, pomijając sprawdzanie gładkości odwzorowań przejścia.

Mapa  $(U_0, \phi_0)$ :

$$U_0 = \{x : |x| < 1\}, \phi_0 : U_0 \rightarrow H^n, \phi_0(x_1, \dots, x_n) = (x_1, \dots, x_{n-1}, x_n + 2)$$

Mapy  $(U_i^\pm, \phi_i^\pm)$



$$U_i^+ = \{x \in D^n : x_i > 0\}$$

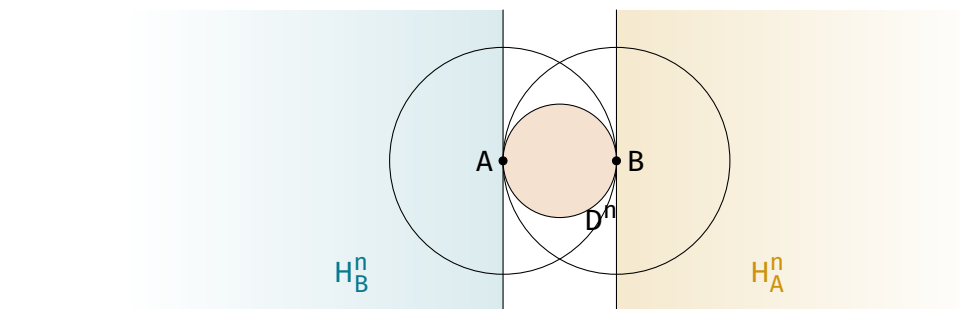
$$U_i^- = \{x \in D^n : x_i < 0\}$$

$$\phi_i^\pm(x_1, \dots, x_n) = \left( \frac{x_1}{x_i}, \dots, \frac{x_{i-1}}{x_i}, \frac{x_{i+1}}{x_i}, \dots, \frac{x_n}{x_i}, \underbrace{1 - \sum_{j=1}^n x_j^2}_{1-r^2} \right)$$

$$\phi_i^\pm(p) = (\pi(p), 1 - r^2) \in H^n$$



2. Inny atlas na  $D^n$ , składający się tylko z dwóch map:



Niech  $A$  i  $B$  będą punktami styczności dwóch prostych równoległych do dysku  $D^n$ . Rozważmy zbiory

$$U_A = D^n \setminus \{A\}$$

$$U_B = D^n \setminus \{B\}$$

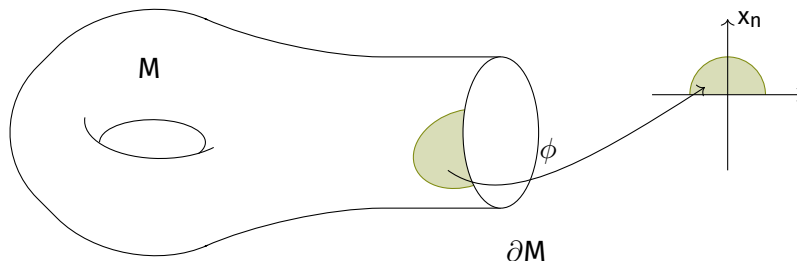
oraz odwzorowania  $\phi_A : U_A \rightarrow H_A^n$  i  $\phi_B : U_B \rightarrow H_B^n$  będące inwersjami dysku względem sfer  $S^n$  o środkach w  $A$  i  $B$  oraz promieniu 2.

3. Tutaj warto zaznaczyć, że jeśli  $n = 0$ , to wtedy  $\partial M = \emptyset$  i  $M$  jest 0-rozmaitością. W dodatku, zbiór rozmaitości gładkich z brzegiem można rozumieć jakoby zawierał zbiór rozmaitości topologicznych, gdyż  $\partial M = \emptyset \iff M$  jest rozmaitością topologiczną.

## 2. Rozkład jedności

Rozważmy rozmaitość z brzegiem  $M$ . Chcielibyśmy mieć narzędzie, które pozwoli nam tworzyć gładkie funkcje  $f : M \rightarrow \mathbb{R}$  takie, że  $f(p) = 0$  gdy  $p \in \partial M$  oraz  $f(p) > 0$  dla dowolnego  $p \in \text{Int}(M)$ .

Bardziej ogólnie, możemy chcieć dla dowolnego zbioru domkniętego  $D \subseteq M$  znaleźć funkcję, która dla  $p \in D$  jest równa zero, a na  $M \setminus D$  ma wartości ściśle dodatnie.



Lokalnie, na zbiorze mapowym  $(U_\alpha, \phi)$  możemy funkcję spełniającą wymagania wyżej zadać przy pomocy funkcji wychodzącej z  $\overline{U_\alpha} = \phi(U_\alpha)$

$$f_\alpha : \overline{U_\alpha} \rightarrow \mathbb{R}, \quad f_\alpha(x_1, \dots, x_n) = x_n,$$

gdyż ostatnia współrzędna punktów z  $\partial M$  jest zawsze zerowa (gdyż są one w  $\partial H^n$ ). Stąd w prosty sposób dostajemy funkcję:

$$f_\alpha : U_\alpha \rightarrow \mathbb{R}, \quad f_\alpha = \overline{f_\alpha} \circ \phi$$

która lokalnie spełnia nasze wymagania. Nie możemy jednak w prosty sposób przełożyć lokalne  $f_\alpha$  na funkcję  $f : M \rightarrow \mathbb{R}$ .

### 2.1. Lokalnie skończone rozdrobnienie

Przypomnijmy definicje, które będą przydatne przy rozkładach jedności:

**Definicja 2.1.** Pokrycie  $\{A_\alpha\}$  podzbiórów przestrzeni topologicznej  $X$  jest **lokalnie skończone**, jeśli dla każdego  $p \in X$  istnieje otoczenie  $U_p$  takie, że  $U_p \cap A_\alpha \neq \emptyset$  tylko dla skończenie wielu  $\alpha$ .

**Definicja 2.2.** Pokrycie  $\{V_\beta\}$  przestrzeni  $X$  zbiorami otwartymi nazywamy **rozdrobnieniem pokrycia**  $\{U_\alpha\}$ , jeśli każdy  $V_\beta$  zawiera się w pewnym  $U_\alpha$ .

Warto nadmienić, że relacja bycia rozdrobnieniem jest przechodnia. Będziemy oznaczać ją przez  $\{V_\beta\} \prec \{U_\alpha\}$ .

$$\{W_\gamma\} \prec \{V_\beta\} \prec \{U_\alpha\} \implies \{W_\gamma\} \prec \{U_\alpha\}$$

**Definicja 2.3.** Przestrzeń topologiczna  $X$  jest **parazwarta**, jeśli każde jej pokrycie  $\{U_\alpha\}$  zbiorami otwartymi posiada lokalnie skończone rozdrobnienie  $\{V_\beta\}$ .

Warto przypomnieć, że każda rozmaitość topologiczna jest parazwarta. Dowód tego lematu wykorzystuje w istotny sposób lokalną zwartość, czyli istnienie dla każdego punktu otoczeń prezwartych (po domknięciu zwartych). Własność ta została udowodniona na ćwiczeniach.

Dowód: patrz Lee strona 36-37

**Uwaga 2.4.** Rozdrobnienie wynikające z parazwartyści rozmaitości topologicznych można z góry uznać za składające się z prezwartych zbiorów mapowych.

**Dowód.** Niech  $\{U_\alpha\}$  będzie pokryciem  $M$ . Łatwo jest znaleźć rozdrobnienie  $\{U'_\gamma\} \prec \{U_\alpha\}$  złożone ze zbiorów prezwartych mapowych. Wystarczy obraz każdego  $U_\alpha$  w  $\mathbb{R}^n$  pokryć

zbiorami prezwartymi i wrócić z nimi na  $M$ . Z faktu, że rozmaitości są parazwarte dostajemy lokalnie skończone rozdrobienie  $\{V_\beta\} \prec \{U'_\gamma\}$ , które z przechodności  $\prec$  jest też rozdrobieniem  $\{U_\alpha\}$ . Dodatkowo, każdy  $V_\beta$  zawiera się w pewnym  $U'_\gamma$ , które były mapowe i prezwarte, więc i  $V_\beta$  taki jest. ☕

**Uwaga 2.5.** Niech  $\{A_\alpha\}$  będzie lokalnie skończoną rodziną parazwartych podzbiorów rozmaitości  $M$ . Wtedy dla każdego  $A_{\alpha_0}$  podrodzina

$$\{A_\alpha : A_\alpha \cap A_{\alpha_0} \neq \emptyset\}$$

jest skończona.

**Dowód.** Załóżmy nie wprost, że dla pewnego  $A_{\alpha_0}$  podrodzina  $\{A_\alpha : A_\alpha \cap A_{\alpha_0} \neq \emptyset\}$  jest nieskończona. Możemy w takim razie wybrać z niej ciąg  $A_{\alpha_i}$  oraz ciąg punktów  $x_i \in A_{\alpha_i} \cap A_{\alpha_0}$ . Ciąg  $x_i$  ma punkt skupienia w pewnym  $p \in \text{cl}(A_{\alpha_0})$ .

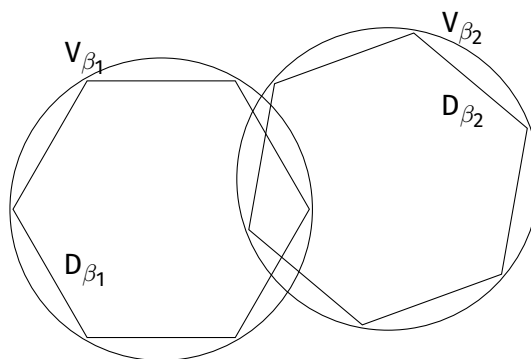
Ponieważ  $p$  jest punktem skupienia  $x_i$ , to dowolne otwarte otoczenie  $U_p$  punktu  $p$  zawiera nieskończenie wiele elementów  $x_i$ . W takim razie  $U_p$  przecina się z nieskończenie wieloma zbiorami  $A_\alpha$ . Jest to sprzeczne z lokalną skończonością  $\{A_\alpha\}$ . ☕

W uwadze 2.4 pokazaliśmy mapowość i prezwartość zbiorów z rozdrobienia  $\{V_\beta\}$  wynikającego z parazwarcia rozmaitości topologicznych. Możemy teraz dodatkowo zapewnić sobie istnienie interesujących nas zbiorów zwartych:

**Uwaga 2.6.** Niech  $\{V_\beta\}$  będzie lokalnie skończonym rozdrobieniem pokrycia  $M$  składającym się ze zbiorów mapowych. Wtedy dla każdego  $\beta$  istnieje zwarty zbiór  $D_\beta \subseteq V_\beta$  taki, że

$$\bigcup D_\beta = M$$

to znaczy możemy wybrać "rozdrobienie" przy pomocy zwartych zbiorów, które nadal pokrywa  $M$ .



**Dowód.** Ponieważ  $V_\beta$  są zbiorami mapowymi, to o każdym z nich możemy myśleć jak o otwartym podziorze w  $\mathbb{R}^n$  poprzez utożsamienie go z otwartym zbiorem  $\bar{V}_\beta = \phi_\beta(V_\beta)$  dla mapy  $(V_\beta, \phi_\beta)$ .

Każdy  $V_{\beta_0}$  jest wstępującą sumą mniejszych zbiorów  $V_{\beta_0,k}$  dla  $k \in \mathbb{N}$ , które są otwarte i ich zwarte domknięcia zawierają się w  $V_{\beta_0}$ :  $\text{cl}(V_{\beta_0,k}) \subseteq V_{\beta_0}$ . Możemy np. wybierać  $V_{\beta_0,k} = B(x_0, k) \cap \{x \in V_{\beta_0} : d(x, V_{\beta_0}^c) > \frac{1}{k}\}$ , tzn. przekroje kul otwartych w  $\mathbb{R}^n$  o środku w  $x_0 \in V_{\beta_0}$  i promieniu  $k$  ze zbiorami tych  $x \in V_{\beta_0}$ , które są odległe od dopełnienia  $V_{\beta_0}$  o co najmniej  $\frac{1}{k}$ .



Niech teraz  $V_{\beta_1}, \dots, V_{\beta_m}$  będą zbiorami z  $\{V_\beta\}$  niepusto krojącymi  $V_{\beta_0}$ . Jest ich skończenie na mocy 2.5. Wówczas  $V_{\beta_1}, \dots, V_{\beta_m}$  wraz z wcześniej stworzonymi  $V_{\beta_0,k}$  jest pokryciem zwartego zbioru  $\text{cl}(V_{\beta_0})$ . Możemy więc z niego wybrać skończone podpokrycie postaci:  $V_{\beta_1}, \dots, V_{\beta_m}, \dots, V_{\beta_0,k_0}$ . Oznacza to, że zastępując w  $\{V_\beta\}$  zbiór  $V_{\beta_0}$  przez zbiór  $V_{\beta_0,k_0}$  dostajemy nowe pokrycie  $M$  z  $\text{cl}(V_{\beta_0,k_0} \subseteq V_{\beta_0})$ . Powtarzamy to induktywnie dla wszystkich  $V_\beta$  i wybieramy pokrycie

$$D_\beta = \text{cl}(V_{\beta,k}),$$

które spełnia wymagania z uwagi.



Z uwag udowodnionych wyżej wynika więc, że dla dowolnego pokrycia otwartego  $\{U_\beta\}$  rozmaitości topologicznej  $M$  istnieje

- lokalnie skończone rozdrobnienie  $\{V_\beta\}$  składające się ze zbiorów mapowych i parazwartych oraz
- rodzina  $\{D_\beta\}$  zwartych podzbiorów  $D_\beta \subseteq V_\beta$ , która dalej pokrywa  $M$ .

To samo dotyczy też rozmaitości z brzegiem.

## 2.2. Twierdzenie o rozkładzie jedności

**Definicja 2.7.** Dla funkcji rzeczywistej  $f : X \rightarrow \mathbb{R}$  określamy jej **nośnik** jako:

$$\text{supp}(f) := \text{cl}(\{x \in X : f(x) \neq 0\})$$

**Fakt 2.8.** [z  $\mathbb{R}^n$ ] Dla dowolnego otwartego  $\Omega \subseteq \mathbb{R}^n$  oraz dowolnego zwartego  $D \subseteq \Omega$  istnieje gładka funkcja  $f : \mathbb{R}^n \rightarrow \mathbb{R}$  taka, że:

1.  $f \geq 0$
2.  $\text{supp}(f) \subseteq \Omega$
3.  $f(x) > 0$  dla  $x \in D$

**Twierdzenie 2.9.** [O rozkładzie jedności] Dla każdego otwartego pokrycia  $\{U_\alpha\}$  rozmaitości gładkiej  $M$  istnieje rodzina  $\{f_i\}$  gładkich funkcji  $f_i : M \rightarrow \mathbb{R}$  takich, że

1.  $f_i \geq 0$
2. dla każdego  $i$  nośnik  $\text{supp}(f_i)$  zawiera się w pewnym  $U_\alpha$
3. nośniki  $\{\text{supp}(f_i)\}$  tworzą lokalnie skończone pokrycie  $M$
4. dla każdego  $x \in M$   $\sum f_i(x) = 1$  [suma ta jest skończona wokół każdego  $x$  dzięki 3.]

**Dowód.** Niech  $\{V_j\} \prec \{U_\alpha\}$  będzie lokalnie skończonym pokryciem otwartym przewartymi zbiorami mapowymi. Niech  $D_j \subseteq V_j$  będą zbiorami zwartymi, które dalej pokrywają  $M$  (na mocy 2.6).

Niech  $(V_j, \phi_j)$  będzie mapą na  $M$  i niech

$$\bar{D}_j = \phi(D_j) \subseteq \phi_j(V_j) = \bar{V}_j$$

będzie zbiorem zwartym. Dzięki faktowi z  $\mathbb{R}^n$  2.8 wiemy, że dla każdego  $j$  istnieje gładka funkcja  $\bar{h}_j : \mathbb{R}^n \rightarrow \mathbb{R}$  taka, że:

1.  $\bar{h}_j \geq 0$
2.  $\text{supp}(\bar{h}_j) \subseteq \bar{V}_j$
3.  $\bar{h}_j(x) > 0$  dla  $x \in D_j$ .

Zdefiniujmy teraz funkcję  $h_j : M \rightarrow \mathbb{R}$  taką, że:

$$h_j(x) = \begin{cases} \bar{h}_j \circ \phi_j(x) & x \in V_j \\ 0 & x \notin V_j \end{cases}$$

Żeby pokazać gładkość  $h_j$ , wystarczy pokazać jej gładkość na pewnym otoczeniu każdego punktu.

Na otoczeniu punktów z  $V_j$  funkcja jest oczywiście gładka jako złożenie dwóch funkcji gładkich. Dla  $p \notin V_j$  istnieje otwarte otoczenie  $U_p$  które jest rozłączne z  $\text{supp}(h_j)$ , a więc jest otwartym otoczeniem na którym  $h_j$  jest stale równe zero. Taka funkcja jest oczywiście gładka.

Niech teraz  $h(x) = \sum_j h_j(x)$ . Jest to dobrze określona definicja, gdyż  $\text{supp}(h_j)$  tworzą rodzinę lokalnie skończoną (bo  $\{V_j\}$  taka jest). Z lokalnej skończoności nośników wynika, że  $h$  jest gładka na  $M$ .

Dostajemy też  $h(x) > 0$ , bo  $D_j$  pokrywają całą  $M$ , a więc dla każdego  $x \in M$  istnieje  $i$  takie, że  $x \in D_i$ , a więc  $h_i(x) > 0$ .

Określmy  $f_j(x) = \frac{h_j(x)}{h(x)}$ . Wiemy, że  $f_j : M \rightarrow \mathbb{R}$  jest gładka na  $M$ ,  $\text{supp}(f_j) = \text{supp}(h_j) \subseteq V_j$ , więc rodzina  $\{\text{supp}(f_j)\}$  jest lokalnie skończona i każdy  $\text{supp}(f_j)$  zawiera się w pewnym  $U_\alpha$ . Wreszcie mamy

$$\sum f_j(x) = \sum \frac{h_j(x)}{h(x)} = \frac{\sum h_j(x)}{h(x)} = \frac{\sum h_j(x)}{\sum h_j(x)} = 1$$

dla każdego  $x \in M$ .



**Definicja 2.10.** Rodzina funkcji  $\{f_j\}$  jak w dowodzie twierdzenia wyżej jest nazywana **rozkładem jedności** wpisanym w pokrycie  $\{U_\alpha\}$ .

### 2.3. Zastosowania rozkładów jedności

Zazwyczaj rozkłady jedności służą do konstruowania gładkich funkcji, które są określone na całym  $M$  i spełniają pewne wymagania. Z pomocą rozkładów jedności będziemy też "globalizować" inne obiekty na rozmaitościach, np. pola wektorowe, metryki Riemanna czy formy różniczkowalne.

#### Przykłady:

1. Niech  $F_1, F_2$  będą domkniętymi rozłącznymi podzbiorami gładkiej rozmaitości  $M$ . Wówczas istnieje gładka funkcja  $f : M \rightarrow [0, 1]$  taka, że

$$f|_{F_1} \equiv 1$$

oraz  $f|_{F_2} \equiv 0$ .

**Dowód.** Niech  $U_i = M \setminus F_i$ , wtedy  $\{U_1, U_2\}$  jest pokryciem  $M$ . Niech  $\{f_i\}$  będzie rozkładem jedności wpisanym w  $\{U_1, U_2\}$ . Określmy

$$f(x) = \sum_{\text{supp}(f_i) \subseteq U_2} f_i(x).$$

Weźmy  $x \in F_1$ , wtedy wszystkie nośniki  $\text{supp}(f_i)$  zawierające  $x$  zawierają się w  $U_2$ , zatem dla takich  $x$  jest

$$f(x) = \sum f_i(x) = 1$$

Jeśli  $x \in F_2$ , to nośniki  $\text{supp}(f_i)$  zawierające  $x$  nie mogą zawierać się w  $U_2$ . W takim razie  $f(x) = 0$ . ☕

2. Rozważmy istnienie gładkiej funkcji  $f : M \rightarrow \mathbb{R}$  takiej, że

$$f(p) = \begin{cases} = 0 & p \in \partial M \\ > 0 & p \in \text{Int}(M) \end{cases}$$

Niech  $\{U_\alpha\}$  będzie dowolnym pokryciem zbiorami mapowymi, a  $f_\alpha : U_\alpha \rightarrow \mathbb{R}^n$  będą lokalnie gładkimi funkcjami takimi, że

$$f_\alpha = \begin{cases} \bar{f}_\alpha \circ \phi_\alpha & U_\alpha \cap \partial M \neq \emptyset \\ 1 & U_\alpha \cap \partial M = \emptyset \end{cases}$$

gdzie  $\bar{f}_\alpha : \bar{U}_\alpha \rightarrow \mathbb{R}$  jest zdefiniowane jako

$$\bar{f}_\alpha(x_1, \dots, x_n) = x_n.$$

Niech  $\{h_\beta\}$  będzie rozkładem jedności wpisanym w  $\{U_\alpha\}$ . Dla każdego  $\beta$  wybieramy  $\alpha(\beta)$  takie, że  $\text{supp}(h_\beta) \subseteq U_{\alpha(\beta)}$ . Definiujemy  $h'_\beta : M \rightarrow \mathbb{R}$  przez

$$h'_\beta = h_\beta \circ f_{\alpha(\beta)}.$$

Wtedy  $h'_\beta$  jest gładkie oraz  $\text{supp}(h'_\beta) \subseteq \text{supp}(h_\beta)$ , więc rodzina nośników  $\{\text{supp}(h'_\beta)\}$  jest lokalnie skończona.

Zdefiniujmy teraz

$$f(x) = \sum h'_\beta,$$

które z lokalnej skończoności nośników  $\{\text{supp}(h'_\beta)\}$  jest dobrze określone.

- $p \in \partial M$ , to dla każdego  $\beta$   $h'_\beta(p) = 0$ , więc  $f(p) = 0$ .
- $p \in \text{Int}(M)$ , to wtedy istnieje  $\beta$  takie, że  $h_\beta(p) > 0$ , a ponieważ dla  $\gamma \neq \beta$   $h'_\gamma(p) \geq 0$ , to  $f(p) > 0$ .

3. Dla dowolnego  $A \subseteq M$  domkniętego oraz  $A \subseteq U \subseteq M$  otwartego istnieje funkcja  $f : M \rightarrow \mathbb{R}$  taka, że dla  $x \in A$   $f(x) = 1$  oraz  $\text{supp}(f) \subseteq U$ .

Po angielsku taka funkcja nazywa się *bump function*

**Dowód.** Niech  $U_1 = U$  oraz  $U_2 = M \setminus A$ , zbiory te pokrywają całe  $M$ . Niech  $h_1, h_2$  będzie rozkładem jedności wpisanym w to pokrycie. Wtedy funkcja  $h_1$  ma poszukiwane własności, bo dla  $x \in A$  mamy  $h_2(x) = 0$ , więc  $1 = h_1(x) + h_2(x) = h_1(x)$ . ☕

4. Funkcja  $f : M \rightarrow \mathbb{R}$  jest nazywana *exhaust function*, jeśli dla każdego  $c \in \mathbb{R}$   $f^{-1}((-\infty, c])$  jest zwartym podzbiorem  $M$ . Kiedy idąc po liczbach naturalnych  $n$  rozpatrujemy  $f^{-1}((-\infty, n])$ , to po drodze zahaczamy o wszystkie zwarte zbiory w  $M$ , stąd też nazwa. Dowód istnienia *exhaust function* korzysta z rozkładów jedności  $\{h_i\}$  wpisanych w dowolne pokrycie przwartymi zbiorami oraz funkcji  $f(x) = \sum_{j \geq 1} j \cdot \phi_j(x)$ .

Dowód istnienia to wniosek 2.28 z Lee.

## 2.4. Alternatywna wersja twierdzenia o rozkładzie jedności

**Twierdzenie 2.11.** Dla dowolnego otwartego pokrycia  $\{U_\alpha\}_{\alpha \in A}$  rozmaitości gładkiej  $M$  istnieje rodzina  $\{f_\alpha\}$  gładkich funkcji  $f_\alpha : M \rightarrow \mathbb{R}$  takich, że

1.  $f_\alpha \geq 0$
2.  $\text{supp}(f_\alpha) \subseteq U_\alpha$
3. nośniki  $\{\text{supp}(f_\alpha)\}$  tworzą lokalnie skończone pokrycie  $M$  [czyli wiele spośród  $f_\alpha$  jest zerowych]
4. dla każdego  $x \in M$   $\sum f_\alpha(x) = 1$

**Dowód.** Znowu szkic dowodu za pomocą wyjściowej wersji twierdzenia.

Rozważmy rodzinę  $\{f_j\}_{j \in J}$  jak w wyjściowej wersji twierdzenia. Dla każdego  $j \in J$  wybieramy  $\alpha(j) \in A$  takie, że  $\text{supp}(f_j) \subseteq U_{\alpha(j)}$ . Zdefiniujmy

$$f_\alpha = \sum_{j: \alpha(j)=\alpha} f_j.$$

Z lokalnej skończoności nośników  $\text{supp}(f_j)$  wiemy, że  $f_\alpha$  również jest funkcją gładką. Warunek 4 zachodzi w sposób oczywisty, tak samo warunek 1.

Warunki 2 i 3 w łatwy sposób wynikają z obserwacji, że dla dowolnej lokalnie skończonej rodziny podzbiorów  $P_t$  w przestrzeni  $X$ ,  $\text{cl}(\bigcup P_t) = \bigcup \text{cl}(P_t)$ . ☕

### **3. Dyskretne ilorazy rozmaitości**

#### **3.1. Klejenie rozmaitości wzdłuż brzegu**

#### **3.2. Dopiero teraz całe mięso**

## 4. Wektory styczne

### Oznaczenia z analizy matematycznej:

- dla gładkiej funkcji  $f : (a, b) \rightarrow \mathbb{R}^n$  takiej, że  $f = (f_1, \dots, f_n)$  i dla  $t \in (a, b)$  pochodną nazywamy wektor

$$f'(t) = \frac{\partial f}{\partial t}(t) = \begin{pmatrix} f'_1(t) \\ f'_2(t) \\ \dots \\ f'_n(t) \end{pmatrix}$$

- dla gładkiego odwzorowania  $f : U \rightarrow \mathbb{R}^m$ ,  $U \subseteq \mathbb{R}^n$  i  $p \in U$  oznaczamy macierz pierwszych pochodnych cząstkowych w punkcie  $p$  przez  $D_p f$ . Dokładniej, jeśli  $f = (f_1, \dots, f_m)$  i  $f_i : U \rightarrow \mathbb{R}^m$  są wszystkie gładkie, to

$$D_p f = \begin{pmatrix} \frac{\partial f_1}{\partial x_1}(p) & \frac{\partial f_1}{\partial x_2}(p) & \dots & \frac{\partial f_1}{\partial x_n}(p) \\ \vdots & \vdots & \vdots & \vdots \\ \frac{\partial f_m}{\partial x_1}(p) & \frac{\partial f_m}{\partial x_2}(p) & \dots & \frac{\partial f_m}{\partial x_n}(p) \end{pmatrix}$$

Tym samym symbolem oznaczamy też odwzorowanie liniowe  $\mathbb{R}^n \rightarrow \mathbb{R}^m$  zadane tą macierzą (różniczka  $f$  w  $p$ ).

### 4.1. Przestrzeń styczna - definicja kinematyczna

Przestrzeń styczną będziemy definiować przez styczność krzywych gładkich.

Niech  $M$  będzie gładką rozmaitością. **Krzywą gładką** na  $M$  nazywamy gładkie odwzorowanie  $c : (a, b) \rightarrow M$ . O krzywej gładkiej  $c$  takiej, że  $c(t_0) = p$  mówimy, że jest **zbazowana w  $p$** . Zbiór par  $(c, t_0)$  krzywych zbazowanych w  $p$  oznaczamy  $C_p M$ .

**Definicja 4.1.** Niech  $\phi : U \rightarrow \mathbb{R}^n$  będzie mapą wokół  $p$ . Krzywe  $(c_1, t_1)$  i  $(c_2, t_2)$  zbazowane w  $p$  są do siebie styczne w mapie  $(U, \phi)$  jeśli  $(\phi \circ c_1)'(t_1) = (\phi \circ c_2)'(t_2)$ .

**Lemat 4.2.** Jeżeli  $(c_1, t_1), (c_2, t_2) \in C_p M$  są styczne w mapie  $(U, \phi)$  wokół  $p$ , to są też styczne w dowolnej innej mapie  $(W, \psi)$  wokół  $p$  (zgodnej z  $(U, \phi)$ ).

#### Dowód.

$$\begin{aligned} (\psi \circ c_1)'(t_1) &= [(\psi \circ \phi^{-1}) \circ (\phi \circ c_1)(t_1)]' = D_{\phi(p)}(\psi \circ \phi^{-1}) \circ [(\phi \circ c_1)'(t_1)] = \\ &= D_{\phi(p)}(\psi \circ \phi^{-1})[(\phi \circ c_2)'(t_2)] = [(\psi \circ \phi^{-1}) \circ (\phi \circ c_2)(t_2)]' = \\ &= (\psi \circ c_2)'(t_2) \end{aligned}$$



**Definicja 4.3.** Krzywe  $(c_1, t_1), (c_2, t_2) \in C_p M$  są styczne, jeżeli są styczne w pewnej (równoważnie każdej) mapie wokół  $p$ .

Relacja styczności krzywych jest relacją równoważności na  $C_p M$ , bo jest zwrotna, symetryczna i przechodnia ( $(\phi \circ c_1)'(t_1) = (\phi \circ c_2)'(t_2)$  i  $(\phi \circ c_2)'(t_2) = (\phi \circ c_3)'(t_3) \implies (\phi \circ c_1)'(t_1) = (\phi \circ c_3)'(t_3)$ ).

**Definicja 4.4. Przestrzenią styczną** do  $M$  w punkcie  $p$  nazywamy zbiór klas abstrakcji relacji styczności krzywych zbazowanych w  $p$

$$T_p M := C_p M / \text{stycznosc}$$

Klasę abstrakcji krzywej  $(c, t_0) \in C_p M$  oznaczamy przez  $[c, t_0]$  lub  $c'(t_0)$ . Elementy przestrzeni  $T_p M$  nazywamy **wektorami stycznymi** do  $M$  w punkcie  $p$ .

## 4.2. Struktura wektorowa przestrzeni $T_p M$

Dla mapy  $\phi : U \rightarrow \mathbb{R}^n$  wokół  $p \in M$  określamy dwa odwzorowania:

$$\begin{aligned} \phi_p^* : T_p M &\rightarrow \mathbb{R}^n & \phi_p^*([c, t_0]) &= (\phi \circ c)'(t_0) \in \mathbb{R}^n \\ \lambda_{\phi, p} : \mathbb{R}^n &\rightarrow T_p M & \lambda_{\phi, p}(v) &= [c_v, 0] \end{aligned}$$

Odwzorowanie  $\phi_p^*$  jest dobrze określone z definicji  $T_p M$  (wszystkie krzywe z jednej klasy abstrakcji mają tę samą pochodną w jednej mapie).

gdzie  $c_v(t) = \phi^{-1}(\phi(p) + tv)$ .

**Lemat 4.5.**  $\phi_p^* \circ \lambda_{\phi, p} = \text{id}_{\mathbb{R}^n}$  oraz  $\lambda_{\phi, p} \circ \phi_p^* = \text{id}_{T_p M}$ , czyli  $\phi_p^*$  i  $\lambda_{\phi, p}$  są one wzajemnie jednoznaczne i do siebie odwrotne.

**Dowód.** Niech  $v \in \mathbb{R}^n$ , wtedy

$$\begin{aligned} \phi_p^* \circ \lambda_{\phi, p}(v) &= \phi_p^*([c_v, 0]) = (\phi \circ c_v)'(0) = \frac{d}{dt} \Big|_{t=0} \phi(\phi^{-1}(\phi(p) + t \cdot v)) = \\ &= \frac{d}{dt} \Big|_{t=0} (\phi(p) + tv) = v \end{aligned} \quad \checkmark$$

Niech  $[c, t_0] \in T_p M$

$$\lambda_{\phi, p} \circ \phi_p^*([c, t_0]) = \lambda_{\phi, p}((\phi \circ c)'(t_0)) = [c_{(\phi \circ c)'(t_0)}, 0]$$

gdzie  $c_{(\phi \circ c)'(t_0)}(t) = \phi^{-1}(\phi(p) + t(\phi \circ c)'(t_0))$ . W mapie  $\phi$  zachodzi więc:

$$(\phi \circ c_{(\phi \circ c)'(t_0)})'(0) = \frac{d}{dt} \Big|_{t=0} [\phi(p) + t \cdot (\phi \circ c)'(t_0)] = (\phi \circ c)'(t_0)$$

W takim razie  $(c, t_0)$  i  $(c_{(\phi \circ c)'(t_0)}, 0)$  są krzywymi stycznymi i mamy  $[c, t_0] = [(c_{(\phi \circ c)'(t_0)}, 0)]$  i w takim razie  $\lambda_{\phi, p} \circ \phi_p^*([c, t_0]) = [c, t_0] \quad \checkmark$ . ☕

**Fakt 4.6.** Na przestrzeni stycznej  $T_p M$  istnieje dokładnie jedna struktura przestrzeni wektorowej, dla której odwzorowania  $\phi_p^*$  oraz  $\lambda_{\phi, p}$  dla wszystkich map  $\phi$  wokół  $p$  są liniowymi izomorfizmami.

Struktura ta jest zadana przez operacje dodawania wektorów i mnożenia ich przez skalary następująco:

- dla  $X, Y \in T_p M$ :  $X + Y := \lambda_{\phi, p}(\phi_p^*(X) + \phi_p^*(Y))$  (suma w środku jest sumą w  $\mathbb{R}^n$ )
- dla  $a \in \mathbb{R}$ :  $a \cdot X := \lambda_{\phi, p}(a \cdot \phi_p^*(X))$  (mnożenie przez skalar w  $\mathbb{R}^n$ ).

**Dowód.** Struktura przestrzeni wektorowej musi być przeniesiona z  $\mathbb{R}^n$  przez  $\lambda_{\phi, p}$ . Wystarczy więc uzasadnić, że dla różnych map  $\phi, \psi$  wokół  $p$  przeniesione z  $\mathbb{R}^n$  na  $T_p M$  struktury liniowe pokrywają się, to znaczy złożenie odwzorowań

$$\mathbb{R}^n \xrightarrow{\lambda_{\phi,p}} T_p M \xrightarrow{\psi_p^* = \lambda_{\psi,p^{-1}}} \mathbb{R}^n$$

jest liniowe.

$$\begin{aligned} \psi_p^* \circ \lambda_{\phi,p}(v) &= \psi_p^*([c_v, 0]) = (\psi \circ c_v)'(0) = \frac{d}{dt}\bigg|_{t=0} \psi \circ \phi^{-1}(\phi(p) + tv) = \\ &= D_{\phi(p)}(\psi \circ \phi^{-1})\left[\frac{d}{dt}\bigg|_{t=0} (\phi(p) + tv)\right] = D_{\phi(p)}(\psi \circ \phi^{-1})(v) \end{aligned}$$

Przekształcenie  $\psi_p^* \circ \lambda_{\phi,p}$  pokrywa się z działaniem macierzy  $D_{\phi(p)}(\psi \circ \phi^{-1})$ , a więc jest liniowe.



O odwzorowaniu  $\phi_p^* : T_p M \rightarrow \mathbb{R}^n$  można myśleć jak o "mapie" dla  $T_p M$  stowarzyszonej z mapą  $\phi$  otoczenia punktu  $p$ . W tej mapie działania na wektorach z  $T_p M$  sprowadzają się do zwykłych działań na wektorach w  $\mathbb{R}^n$ .

#### Przykład:

- Dla  $M = \mathbb{R}^n$  mamy wyróżnioną mapę  $\phi : M = \mathbb{R}^n \rightarrow \mathbb{R}^n$ ,  $\phi = \text{id}_{\mathbb{R}^n}$ . Dla każdego  $p \in M$  mapa ta, poprzez  $\phi_p^* = (\text{id}_{\mathbb{R}^n})^*$  kanonicznie utożsamia  $T_p \mathbb{R}^n$  z  $\mathbb{R}^n$ .
- Analogiczna sytuacja zachodzi z  $M = U \subseteq \mathbb{R}^n$  otwartego podzbioru i  $p \in U$ , gdzie inkluzja  $i : U \rightarrow \mathbb{R}^n$  jest traktowana jako mapa.

Dla rozmaitości  $M$  z brzegiem i  $p \in \partial M$  dopuszczamy dodatkowo krzywe gładkie  $c : [t_0, b) \rightarrow M$  oraz  $c : (a, t_0] \rightarrow M$  takie, że  $c(t_0) = p$  oraz pary  $(c, t_0)$  jako elementy  $C_p M$ . Inaczej dla niektórych "kierunków" wektorów nie istniałyby odpowiednie krzywe reprezentujące te wektory. Styczność na  $T_p M$  określa się potem w sposób analogiczny jak dla rozmaitości bez brzegu.



Wektory styczne do  $M = \mathbb{R}^n$  (lub  $U \subseteq \mathbb{R}^n$ ) w punkcie  $p$  odpowiadające wektorom bazowym  $e_1 = (1, 0, 0, \dots, 0)$ ,  $e_2 = (0, 1, 0, \dots, 0)$ , ...,  $e_n = (0, 0, 0, \dots, 1)$  oznaczamy przez  $\frac{\partial}{\partial x_1}(p)$ ,  $\frac{\partial}{\partial x_2}(p)$ , ...,  $\frac{\partial}{\partial x_n}(p)$ . Tworzą one bazę  $T_p \mathbb{R}^n$  ( $T_p U$ ), zaś dowolny wektor z  $T_p \mathbb{R}^n$  ( $T_p U$ ) ma postać  $\sum_{i=1}^n a_i \frac{\partial}{\partial x_i}(p)$ . [0cm]

Analogicznie, dla dowolnej rozmaitości  $M$  i  $p \in M$  oraz mapy  $\phi$  wokół  $p$  przeciwobraz przez  $\phi_p^* : T_p M \rightarrow \mathbb{R}^n$  wektorów  $e_1, \dots, e_n$  oznaczamy:

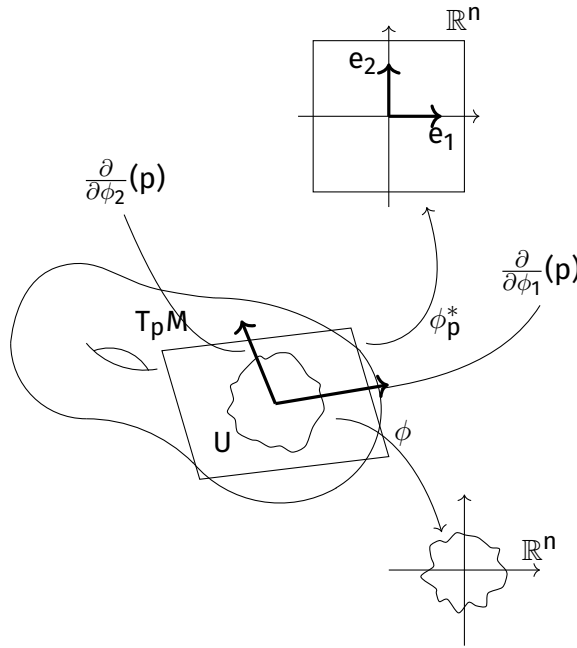
$$(\phi_p^*)^{-1}(e_i) = \frac{\partial}{\partial \phi_i}(p).$$

Elementy te tworzą bazę  $T_p M$  i dowolny wektor z  $T_p M$  ma postać  $\sum a_i \frac{\partial}{\partial \phi_i}(p)$ .

### 4.3. Różniczka

Rozważmy funkcję gładką  $f : M \rightarrow N$  i  $p \in M$ ,  $f(p) = q \in N$ . Dla krzywej zbalansowanej  $(c, t_0) \in C_p M$  mamy  $(f \circ c, t_0) \in C_q N$ .





**Lemat 4.7.** Jeżeli  $(c_1, t_1), (c_2, t_2) \in C_p M$  są styczne, to  $(f \circ c_1, t_1), (f \circ c_2, t_2) \in C_q N$  też są styczne

**Dowód.** Niech  $\phi$  będzie mapą wokół  $p$ ,  $\phi : U \rightarrow \mathbb{R}^m$ , zaś  $\psi$  mapą wokół  $q$ ,  
 $\psi : W \rightarrow \mathbb{R}^n$

$$\begin{aligned} (\psi \circ f \circ c_1)'(t_1) &= [(\psi \circ f \circ \phi^{-1}) \circ (\phi \circ c_1)]'(t_1) = D_{\phi(p)}(\psi \circ f \circ \phi^{-1}) \cdot [(\phi \circ c_1)'(t_1)] = \\ &= D_{\phi(p)}(\psi \circ f \circ \phi^{-1}) \cdot [(\phi \circ c_2)'(t_2)] = [(\psi \circ f \circ \phi^{-1}) \circ (\phi \circ c_2)]'(t_2) = \\ &= (\psi \circ f \circ c_2)'(t_2) \end{aligned}$$

Zatem krzywe  $(f \circ c_1, t_1)$  i  $(f \circ c_2, t_2)$  są styczne. ☕

**Definicja 4.8. Różniczką**  $f$  w punkcie  $p$  nazywamy odwzorowanie  $df_p : T_p M \rightarrow T_{f(p)} N$  określone przez  $df_p([c, t_0]) = [f \circ c, t_0]$ .

Odwzorowanie różniczkowe jest dobrze określone na mocy Lematu 4.7.

**Lemat 4.9.**  $df_p : T_p M \rightarrow T_{f(p)} N$  jest odwzorowaniem liniowym.

**Dowód.** Wystarczy sprawdzić, że odwzorowanie

$$\mathbb{R}^m \xrightarrow{\lambda_{\phi,p}} T_p M \xrightarrow{df_p} T_{f(p)} N \xrightarrow{\psi_{f(p)}^*} \mathbb{R}^n$$

jest liniowe (analogicznie jak przy dowodzie 4.6).

$$\begin{aligned} \psi_{f(p)}^* \circ df_p \circ \lambda_{\phi,p}(v) &= \psi_{f(p)}^* \circ df_p([c_v, 0]) = \psi_{f(p)}^*([f \circ c_v, 0]) = \\ &= (\psi \circ f \circ c_v)'(0) = [(\psi \circ f \circ \phi^{-1}) \circ (\phi \circ c_v)]'(0) = \\ &= D_{\phi(p)}(\psi \circ f \circ \phi^{-1}) \cdot [(\phi \circ c_v)'(0)] = \\ &= D_{\phi(p)}(\psi \circ f \circ \phi^{-1})[v] \end{aligned}$$

jest to przekształcenie zadane macierzą, a więc liniowe. ☕

Dla gładkiej funkcji  $f : M \rightarrow N$  odwzorowanie  $df_p : T_p M \rightarrow T_{f(p)} N$  wyznaczyliśmy w mapach  $\phi$  wokół  $p$  i  $\psi$  wokół  $f(p)$  jako

$$\psi_{f(p)}^* df_p \lambda_{\phi,p}(p) = D_{\phi(p)}(\psi f \phi^{-1})(v).$$

Stąd, odwzorowanie  $df_p$  w bazach  $\{\frac{\partial}{\partial \phi_i}(p)\}$  w  $T_p M$  i  $\{\frac{\partial}{\partial \psi_j}(p)\}$  w  $T_{f(p)} N$  zapisuje się macierzą

$$D_{\phi(p)}(\psi f \phi^{-1}) = \left( \frac{\partial(\psi f \phi^{-1})_i}{\partial x_j}(\phi(p)) \right)_{ij}$$

$$df_p \left[ \sum_i a_i \frac{\partial}{\partial \phi_i}(p) \right] = \sum_i \left[ \sum_j \frac{\partial(\psi f \phi^{-1})_i}{\partial x_j}(\phi(p)) \cdot a_j \right] \frac{\partial}{\partial \psi_i}(f(p))$$

### Przykłady:

- Niech  $\phi : U \rightarrow \mathbb{R}^n$  będzie mapą wokół  $p \in M$ . Możemy ją potraktować jako gładkie odwzorowanie między dwiema rozmaitościami. Wówczas różniczka  $d\phi_p : T_p U \rightarrow T_{\phi(p)} \mathbb{R}^n$  jest wónna odwzorowaniu "mapowemu"  $\phi_p^* : T_p M \rightarrow \mathbb{R}^n$ .

**Dowód.** Niech  $[c, t_0] \in T_p M$ , wtedy

$$d\phi_p([c, t_0]) = [\phi \circ c, t_0] \in T_{\phi(p)} \mathbb{R}^n$$

Mapę  $(id_{\mathbb{R}^n})_{\phi(p)}^* : T_{\phi(p)} \mathbb{R}^n \rightarrow \mathbb{R}^n$  kanonicznie utożsamiliśmy z  $id_{\mathbb{R}^n}$ , stąd też

$$d\phi_p([c, t_0]) = (id_{\mathbb{R}^n} \circ \phi \circ c)'(t_0) = (\phi \circ c)'(t_0),$$

a z kolei

$$\phi_p^*([c, t_0]) = (\phi \circ c)'(t_0) \in \mathbb{R}^n$$

z definicji tego odwzorowania. ☕

- Dla gładkiej krzywej  $c : (a, b) \rightarrow M$  oraz  $t_0 \in (a, b)$ , różniczka  $dc_{t_0} : T_{t_0}(a, b) \rightarrow T_{c(t_0)} M$  jest jedynym przekształceniem liniowym, które wersor z  $\mathbb{R} \cong T_{t_0}(a, b)$  przekształca na wersor  $[c, t_0] = c'(t_0) \in T_{c(t_0)} M$ .
- Rozważmy gładką funkcję  $f : M \rightarrow \mathbb{R}$  i  $p \in M$ . Różniczka  $df_p : T_p M \rightarrow T_{f(p)} \mathbb{R} \cong \mathbb{R}$  jest funkcjonałem liniowym na  $T_p M$ .

**Definicja 4.10.** Dla funkcji  $f : M \rightarrow \mathbb{R}$  możemy wybrać wektor styczny  $X = [c, t_0] \in T_p M$  i zdefiniować **pochodną kierunkową** funkcji  $f$  w kierunku wektora  $X$ :

$$Xf = df_p(X) = df_p([c, t_0]) = (f \circ c)'(t_0).$$

Pochodna kierunkowa ma następujące własności:

- $X(f + g) = Xf + Xg$
- $X(f \cdot g) = g(p) \cdot Xf + f(p) \cdot Xg$  (*reguła Leibniza*)

### Dowód.

$$\begin{aligned} X(f \cdot g) &= [(f \cdot g) \circ c]'(t_0) = [(f \circ c) \cdot (g \circ c)]'(t_0) = \\ &= (f \circ c)'(t_0) \cdot (g \circ c)(t_0) + (f \circ c)(t_0) \cdot (g \circ c)'(t_0) = \\ &= Xf \cdot g(p) + f(p) \cdot Xg \end{aligned}$$



- dla  $a \in \mathbb{R}$   $(aX)f = a(Xf)$
- jeśli  $X, Y \in T_p M$ , to  $(X + Y)f = Xf + Yf$

### Dowód.

$$(X + Y)f = df_p(X + Y) = df_p(X) + df_p(Y) = Xf + Yf$$



### Przykłady:

- Jeśli  $X = \frac{\partial}{\partial x_i}(p) \in T_p \mathbb{R}^n$  i mamy gładką funkcję  $f : \mathbb{R}^n \rightarrow \mathbb{R}$ , to wówczas  $Xf = \frac{\partial f}{\partial x_i}(p)$ .
- Jeśli  $X = \frac{\partial}{\partial \phi_i}(p) \in T_p M$  i  $f : M \rightarrow \mathbb{R}$  jest funkcją gładką, to oznaczamy

$$Xf = \frac{\partial(f \circ \phi^{-1})}{\partial x_i}(\phi(p)) =: \frac{\partial f}{\partial \phi_i}(p)$$

Stąd oznaczenie  $\frac{\partial}{\partial x_i}(p)$ , które ma charakter operatorowy związany z działaniem tego wektora na funkcjach  $f_n$

$\frac{\partial f}{\partial \phi_i}$  jest to i-ta pochodna cząstkowa  $f$  w mapie  $\phi$  w punkcie  $p$

- Podobnie jak wyżej, jeśli  $X = \sum a_i \frac{\partial}{\partial \phi_i}(p)$ , to

$$Xf = \sum a_i \frac{\partial f}{\partial \phi_i}(p) = \sum a_i \frac{\partial f \circ \phi^{-1}}{\partial x_i}(\phi(p))$$

## Spis twierdzeń

1.1	Definicja: przestrzeń topologiczna . . . . .	3
1.2	Twierdzenie: twierdzenie brouwer'a . . . . .	4
1.3	Definicja: mapa . . . . .	4
1.4	Definicja: funkcja $f : M \rightarrow \mathbb{R}$ jest gładka . . . . .	6
1.5	Definicja: zgodność map . . . . .	7
1.6	Definicja: atlas gładki . . . . .	8
1.7	Definicja: rozmaitość gładka . . . . .	9
1.8	Definicja: zgodność atlasów, mapy z atlasem . . . . .	10
1.9	Definicja: atlas maksymalny . . . . .	10
1.10	Fakt: gładkość względem atlasu . . . . .	10
1.11	Definicja: odwzorowanie $C^k$ -różniczkowalne . . . . .	11
1.12	Lemat . . . . .	11
1.13	Definicja: rozmaitość z brzegiem . . . . .	13
1.14	Fakt: raz w brzegu, zawsze w brzegu . . . . .	13
1.15	Definicja: brzeg, wnętrze . . . . .	13
1.16	Fakt . . . . .	13
2.1	Definicja: pokrycie lokalnie skończone . . . . .	15
2.2	Definicja: rozdrobnienie . . . . .	15
2.3	Definicja: przestrzeń parazwarta . . . . .	15
2.4	Uwaga . . . . .	15
2.5	Uwaga . . . . .	16
2.6	Uwaga . . . . .	16
2.7	Definicja: nośnik funkcji . . . . .	17
2.8	Fakt . . . . .	17
2.9	Twierdzenie: o rozkładzie jedności . . . . .	17
2.10	Definicja: rozkład jedności . . . . .	18
2.11	Twierdzenie . . . . .	20
4.1	Definicja: styczność krzywych w mapie . . . . .	22
4.2	Lemat: styczność w jednej mapie $\iff$ styczność w każdej mapie . . . . .	22
4.3	Definicja: styczność krzywych . . . . .	22
4.4	Definicja: przestrzeń styczna . . . . .	23
4.5	Lemat . . . . .	23
4.6	Fakt: struktura przestrzeni wektorowej na przestrzeni stycznej . . . . .	23
4.7	Lemat: krzywe styczne po przejściu przez $f:M \rightarrow N$ są nadal styczne . . . . .	25
4.8	Definicja: różniczka . . . . .	25
4.9	Lemat: $df$ jest odwzorowaniem liniowym . . . . .	25
4.10	Definicja: pochodna kierunkowa . . . . .	26